

LANCÉ

Servicio Clima Espacial

Reporte Semanal

<http://www.sciesmex.unam.mx>



AEM
AGENCIA ESPACIAL MEXICANA



CENAPRED
CENTRO NACIONAL DE
PREVENCIÓN DE DESASTRES

Reporte semanal: del 06 al 12 de noviembre de 2020

CONDICIONES DEL SOL

Regiones activas: 3
Hoyos coronales: 3.
Fulguraciones solares: varias (clase C).
Eyecciones de masa coronal: 2 (no en la dirección Sol-Tierra).

CONDICIONES DEL MEDIO INTERPLANETARIO

Se registró una región de interacción.

CONDICIONES DE MAGNETÓSFERA

Índice K local: no se registraron variaciones significativas.
Índice Dst: no se registraron variaciones significativas.

CONDICIONES DE LA IONOSFERA

No se registraron variaciones significativas.

CONDICIONES DE RAYOS CÓSMICOS

No se registraron eventos esta semana.

Reporte semanal: del 06 al 12 de noviembre de 2020

PRONÓSTICOS*

Viento solar:

Se pronostican las velocidades de viento solar promedio 350-450 km/s. La densidad del plasma no presentará incrementos significativos. No se pronostica la llegada de ninguna EMC.

Fulguraciones solares:

Baja probabilidad de fulguraciones intensas (clase X).

Tormentas geomagnéticas:

Baja probabilidad de perturbaciones geomagnéticas intensas.
Es posible actividad geomagnética menor ($K_p=5$).

Tormentas ionosféricas:

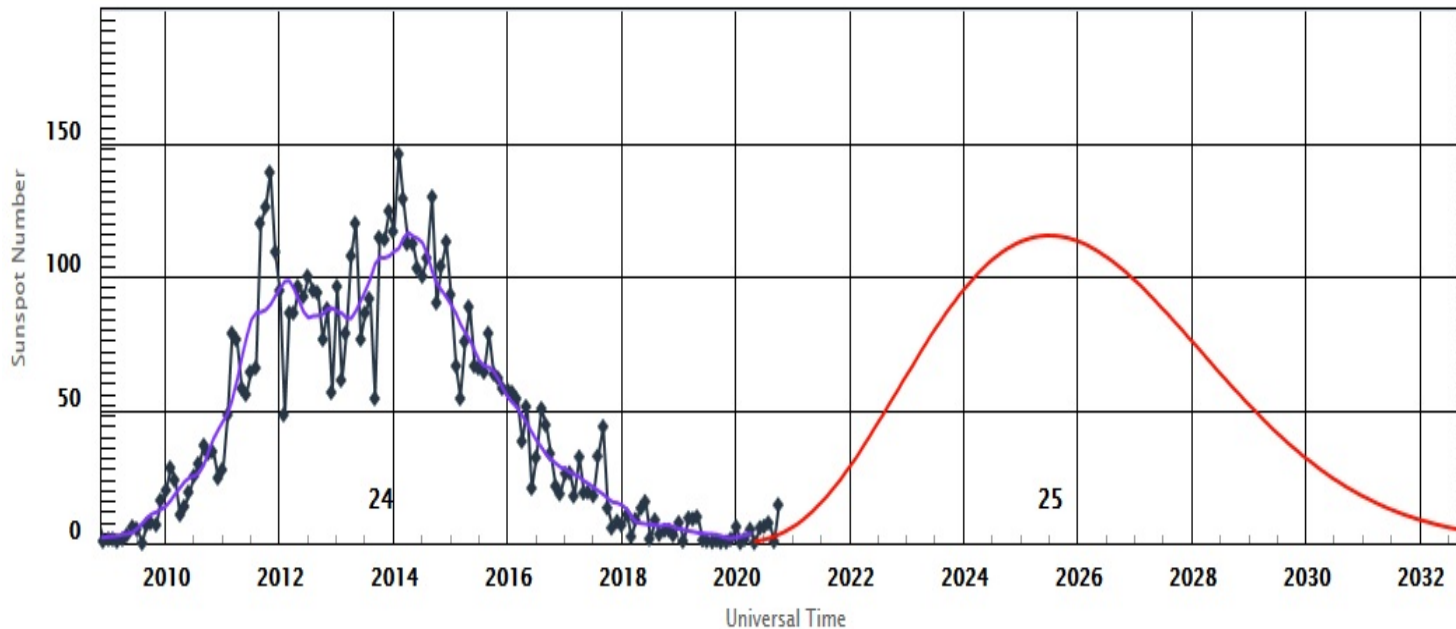
Baja probabilidad de perturbaciones ionosféricas intensas.

Tormentas de radiación solar:

Baja probabilidad de tormentas intensas.

*NOTA: Las perturbaciones de Clima Espacial pueden ser provocadas por eventos solares rápidos, los cuales no se pueden pronosticar con varios días de antelación.

Ciclo de manchas solares y la actividad solar

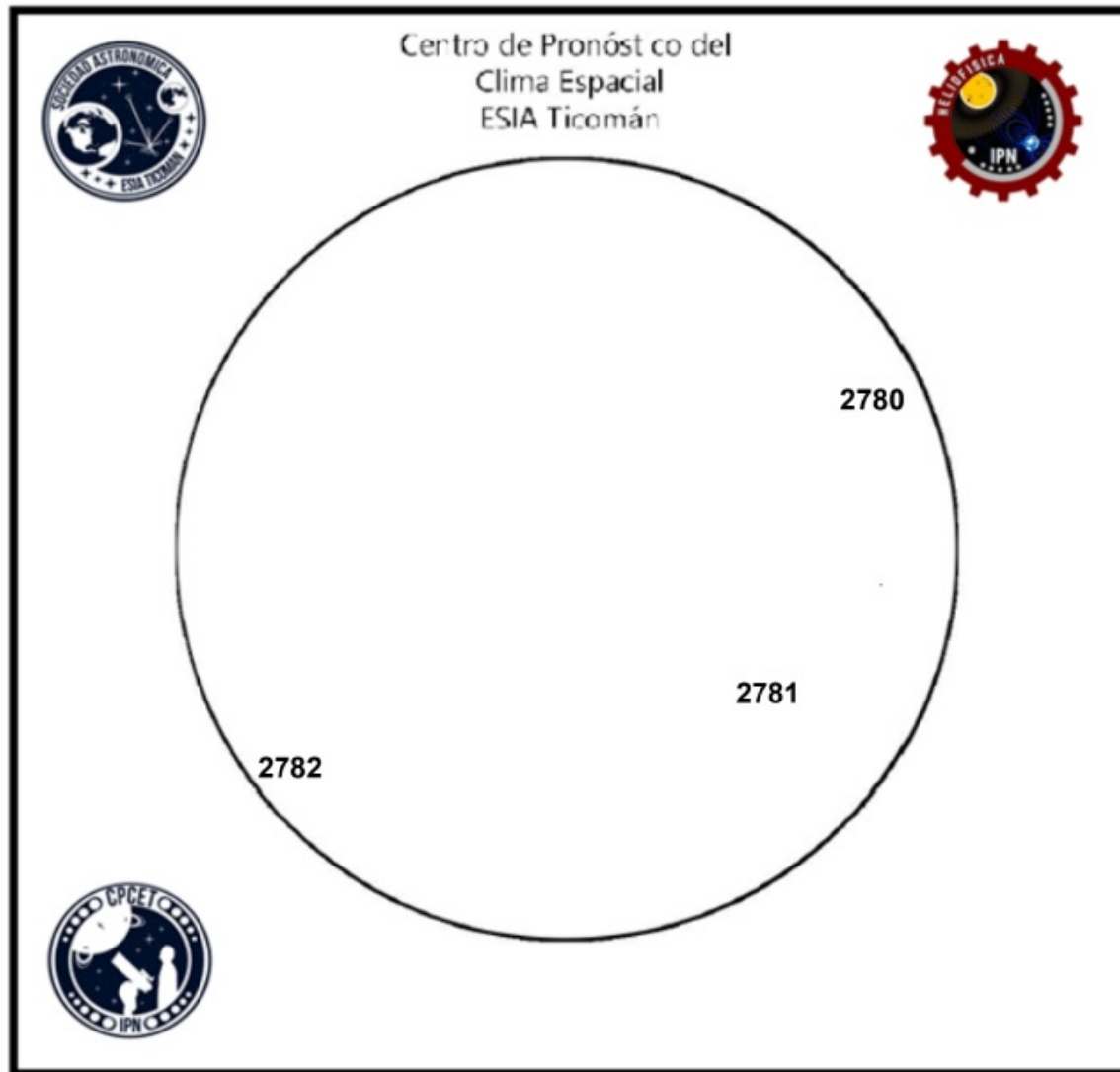


La figura muestra el conteo del número de manchas solares desde enero del 2008.

Entre más manchas solares presente el Sol, es mayor la posibilidad de que ocurra una tormenta solar.

Imagen: www.swpc.noaa.gov/products/solar-cycle-progression

Estamos en el inicio del ciclo solar 25.
Es una época de actividad solar baja.



El número de Wolf es un valor que permite evaluar numéricamente la actividad solar mediante el conteo de manchas solares ubicadas sobre la superficie del Sol. Este se calcula a partir de la fórmula desarrollada por Rudolf Wolf en 1849:

$$W=k(10*G+F)$$

Donde:

K= Es un factor de corrección que depende de cada observatorio.

F= Cantidad total de manchas solares visibles sobre el disco solar.

G= Cantidad de grupos manchas solares visibles sobre el disco solar.

Número de Wolf máximo esta semana: **43**

Durante esta semana se pudieron observar tres regiones activas en la superficie del Sol. Estas fueron la 2780, la 2781 y la 2782 con coordenadas N20W69, S23W45 y S31E55 respectivamente

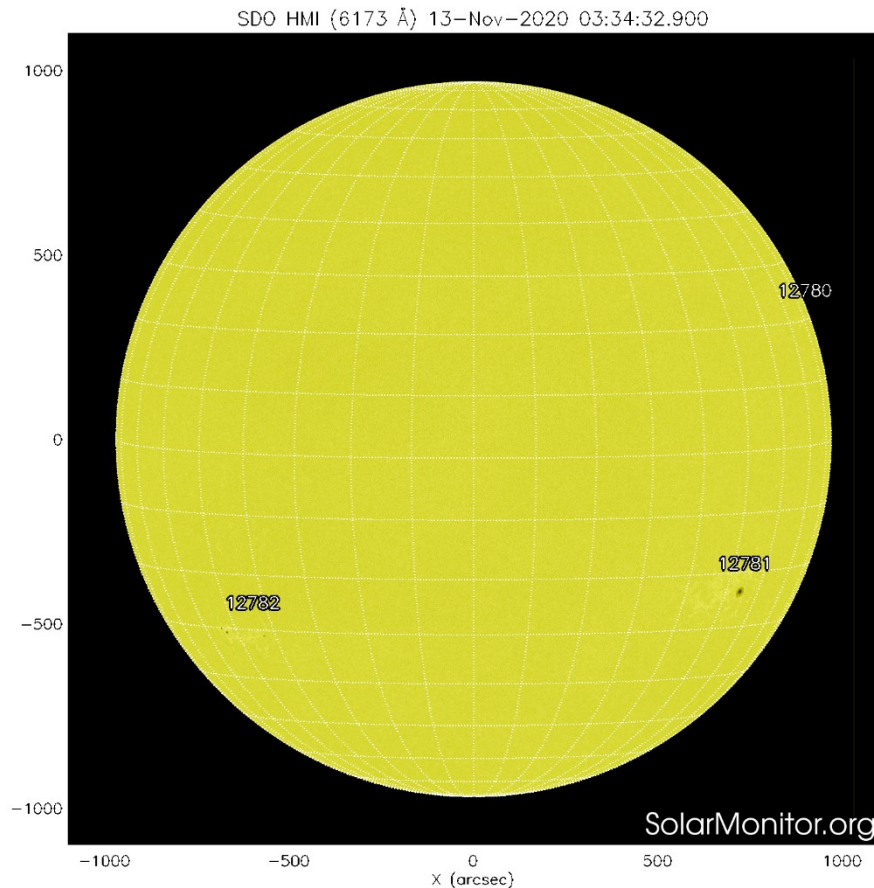


Imagen: <https://solarmonitor.org>

La fotosfera es la zona “superficial” del Sol, donde aparecen las manchas solares. Regiones oscuras formadas por material más frío que sus alrededores y que contienen intensos campos magnéticos. Las manchas solares están relacionadas con la actividad solar.

El Sol hoy:

La imagen más reciente de la fotosfera, tomada por el satélite artificial SDO, muestra tres manchas solares.

• Campos magnéticos solares

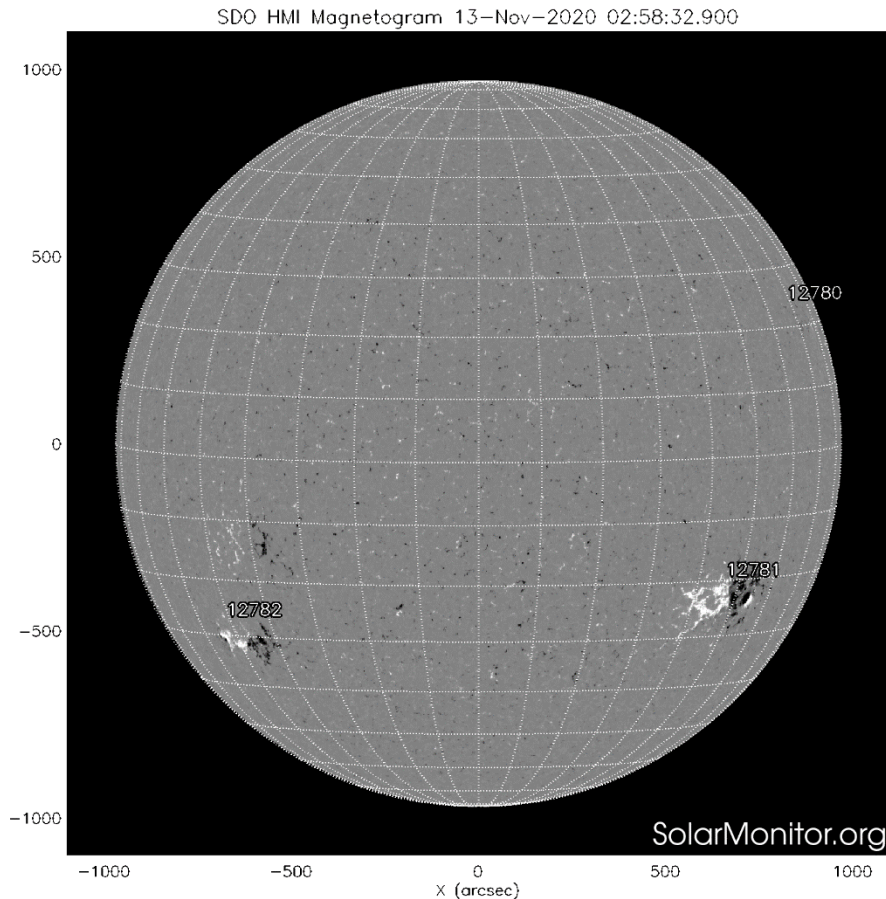


Imagen: <https://solarmonitor.org>

Un magnetograma solar permite identificar las regiones de intensos campos magnéticos solares. En general, estos campos magnéticos están asociados a manchas solares, la estructura de la atmósfera solar, y están localmente cerrados.

Las regiones de color blanco/negro son zonas por donde salen/entran líneas de campo magnético.

El Sol hoy:

El magnetograma más reciente tomado por el satélite artificial SOHO.

Atmósfera solar y regiones activas

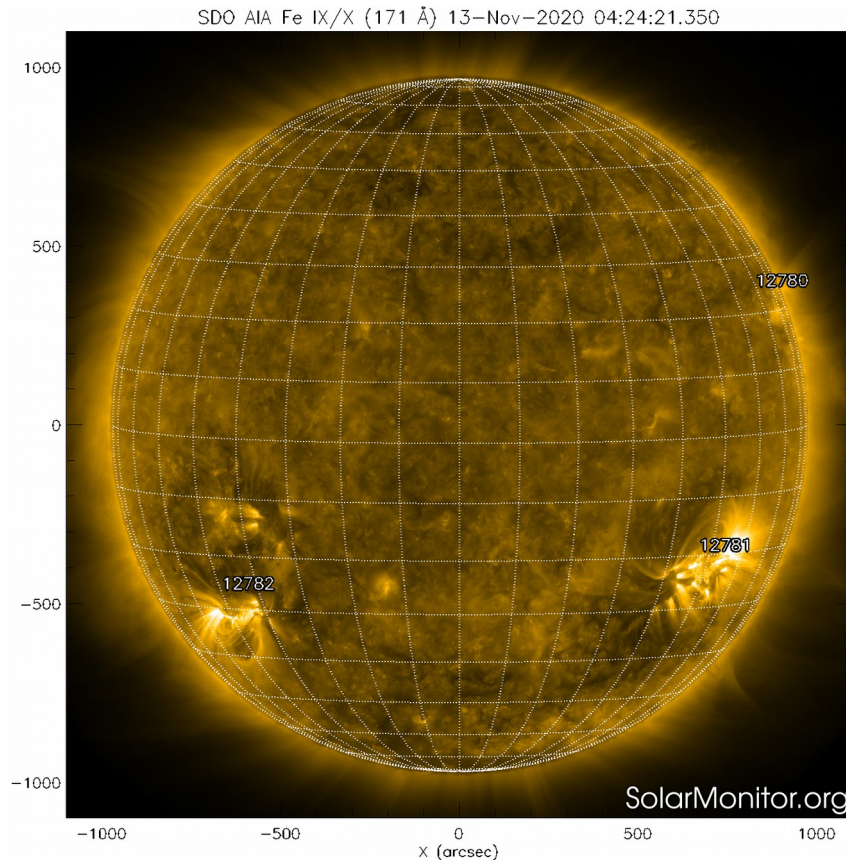


Imagen: <https://solarmonitor.org>

El Sol en rayos X suaves (171 Å). La emisión de Fe IX y X revela la estructura magnética en la región de la atmósfera solar llamada corona solar que se encuentra a 630,000 K.

Las regiones activas (zonas claras) son los lugares donde se presentan los fenómenos de actividad solar más importantes. Las regiones activas están regularmente asociadas a las manchas solares.

El Sol hoy:

Imagen más reciente, tomada por el satélite artificial SDO muestra tres regiones activas.

SDO AIA Fe XII (211 Å) 13-Nov-2020 04:26:57.630

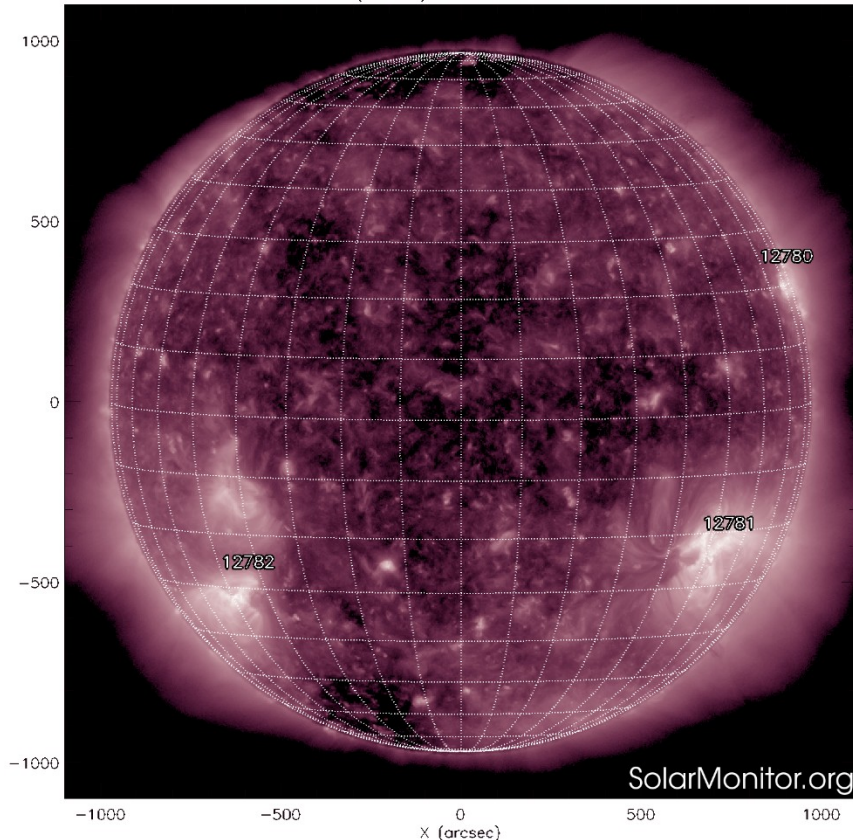


Imagen: <https://solarmonitor.org>

El Sol en rayos X suaves (211 Å). La emisión de Fe XIV revela la estructura magnética en la alta corona que se encuentra a 2,000,000 K.

Los hoyos coronales (regiones oscuras) son regiones de campo magnético solar localmente abierto. Los hoyos coronales son fuente de las corrientes de viento solar rápido.

El Sol hoy:

Imagen más reciente, tomada por el satélite artificial SDO, muestra unos hoyos coronales: uno cerca del polo norte, otro más grande y disperso extendido desde el centro del disco solar y otro más pequeño cerca del polo sur a su lado izquierdo.

Actividad solar: Fulguraciones solares

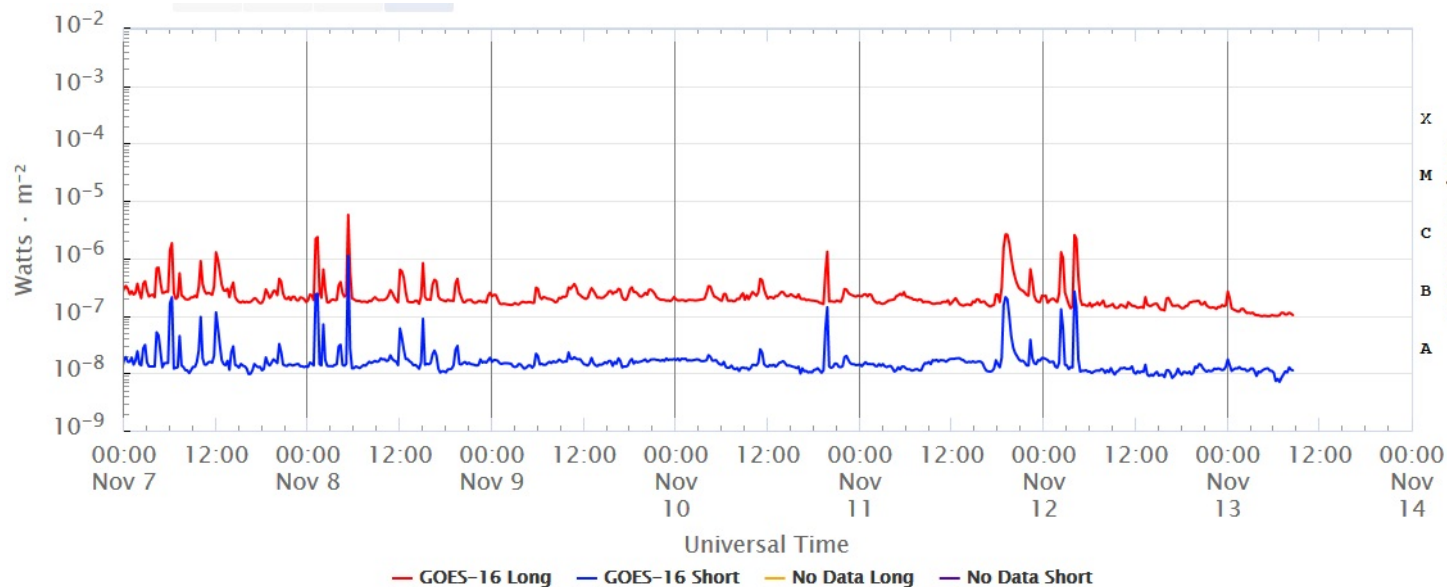


Imagen: <https://www.swpc.noaa.gov/products/goes-x-ray-flux>

Flujo de rayos X solares detectado por los satélites GOES.

La imagen muestra los datos tomados durante los últimos días.

Se presentaron fulguraciones solares de clase C (de pocas consecuencias notables en la Tierra) los días 6, 7, 8, 10 y 12 de noviembre.

Medio interplanetario: El viento solar cercano a la Tierra

Modelo numérico WSA-ENLIL.

El modelo pronostica un ambiente solar terrestre dominado por corrientes de viento solar lento con velocidades que van desde los 350 km/s hasta los 450 km/s. La densidad no presentará variaciones significativas. No se pronostica el arribo de ninguna EMC en los próximos días.

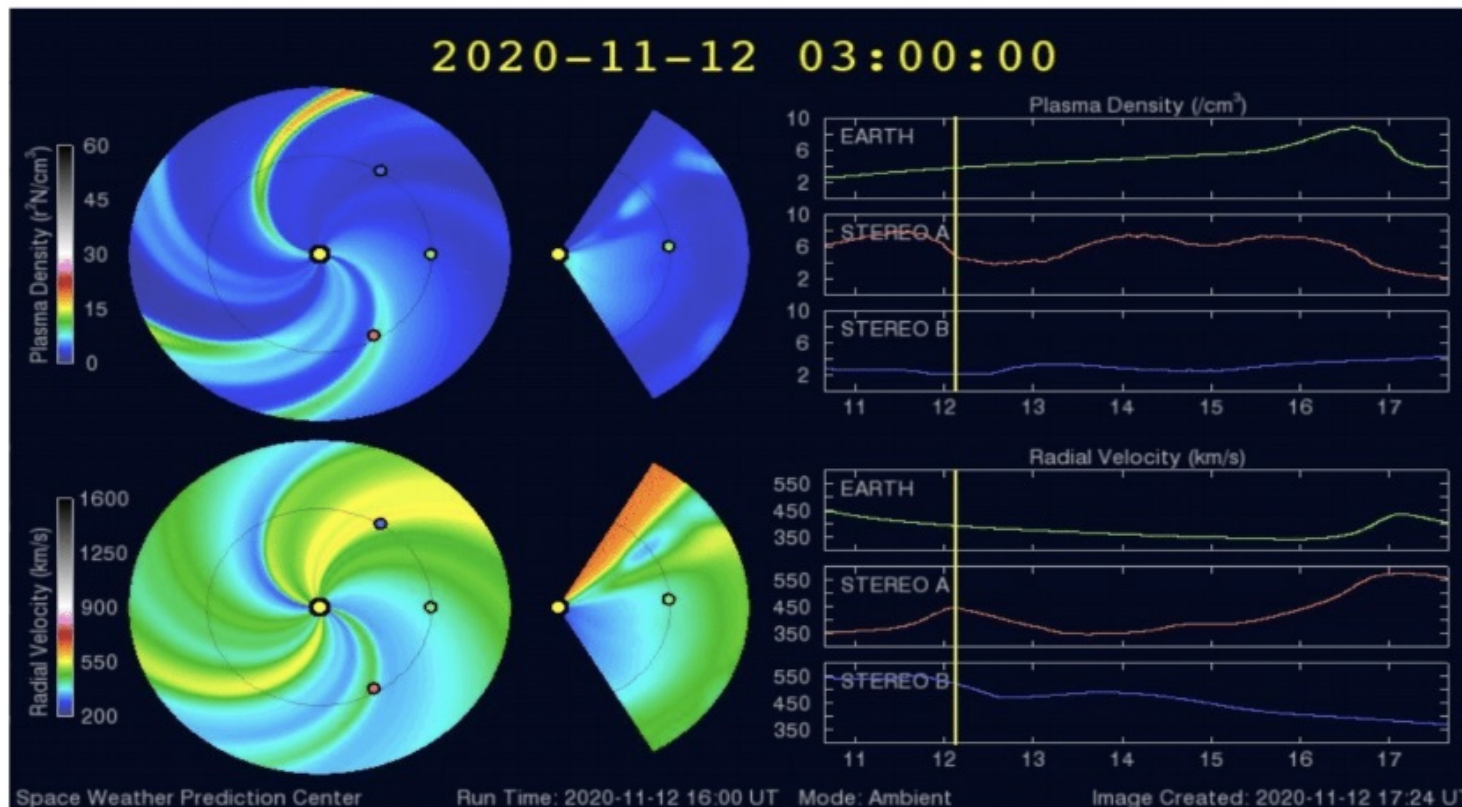
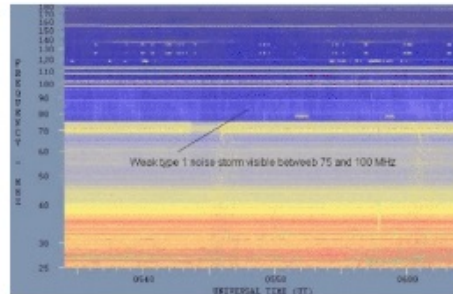


Imagen: <http://www.swpc.noaa.gov/products/wsa-enlil-solar-wind-prediction>

Tipos de estallidos de radio solares

Tipo I: Estallidos cortos y banda de emisión estrecha. Ocurren en un gran número sobre un continuo de emisión. Duración de 1 s y en tormenta de horas a días.

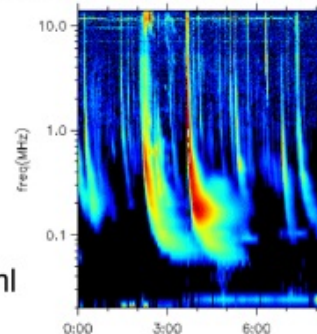
Se asocian con regiones activas, fulguraciones y protuberancias eruptivas



spaceacademy.net.au/env/sol/solradp/solradp.htm

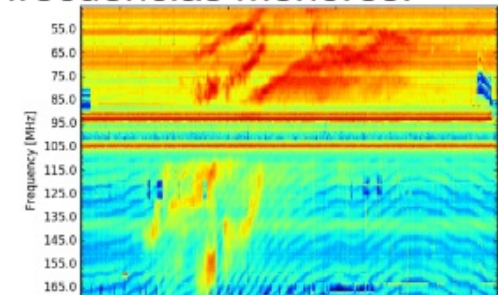
Tipo III: Estallidos de deriva rápida, con duración de pocos segundos en el rango métrico. Tienen anchos de emisión amplios. Son producidos en fulguraciones donde son expulsados a velocidades relativistas.

Se pueden presentar también como tormentas de estallidos.



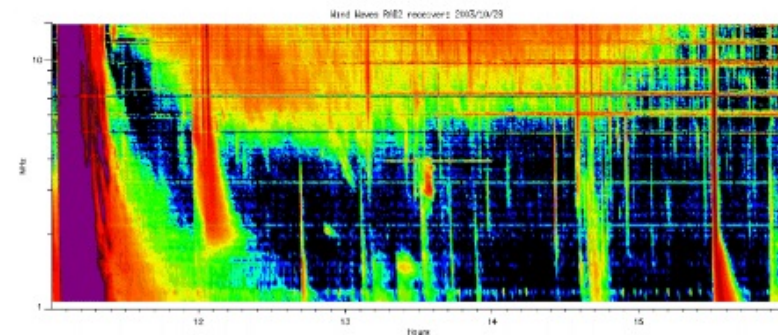
ssed.gsfc.nasa.gov/waves/data_products.html

Tipo II: Estallidos de deriva lenta. Son la firma de ondas de choque, producidas por fulguraciones o EMCs, que se propagan cerca del Sol y medio interplanetario. Presentan anchos de de emisión estrechos que derivan a frecuencias menores.



www.rice.unam.mx/callisto

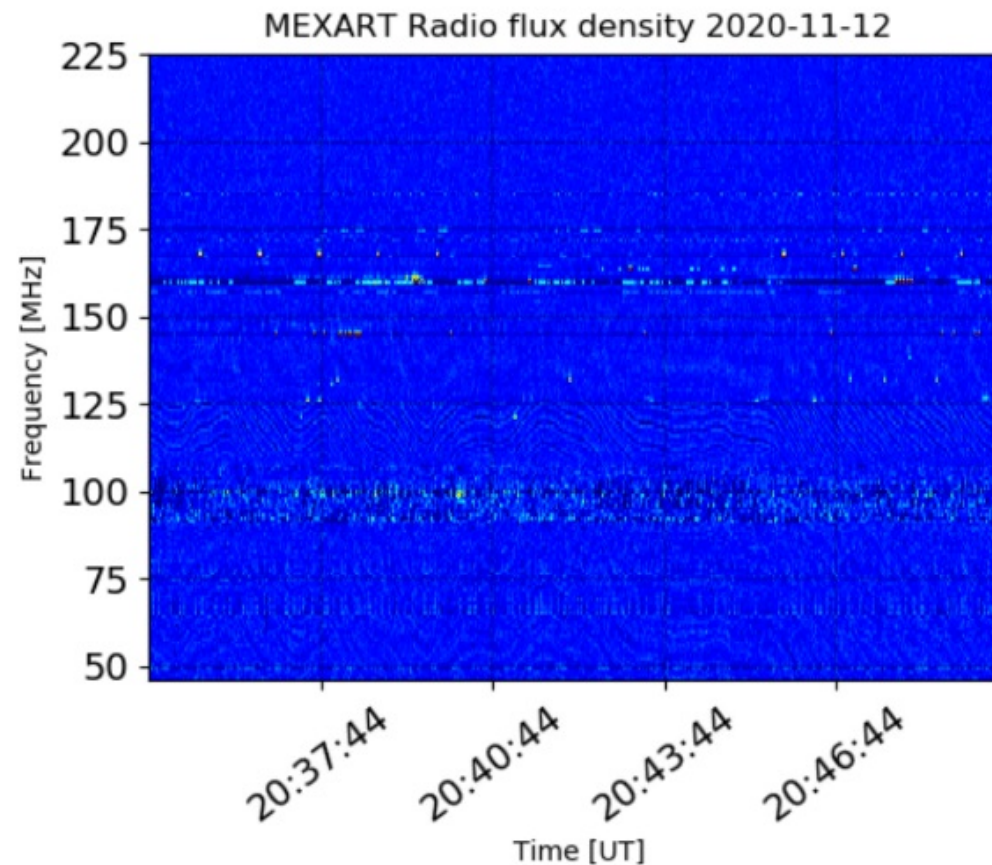
Tipo IV: Se relacionan con fulguraciones, tienen anchos de banda amplios y pueden durar horas.



https://ssed.gsfc.nasa.gov/waves/data_products.html

Estallidos de radio solares: Observaciones de Callisto-MEXART

Callisto-MEXART no detectó estallidos de radio solares esta semana.



- <http://www.rice.unam.mx/callisto/lightcurve/2020/11>

Eyecciones de Masa Coronal (EMCs): **LANC**

observación de coronógrafos

Servicio Clima Espacial

>> **Noviembre 8, 19:24 h⁺**

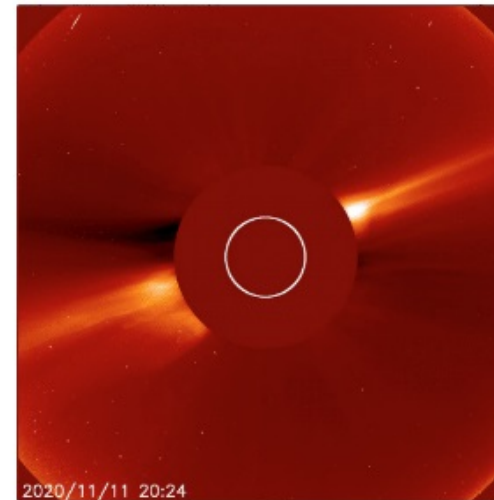
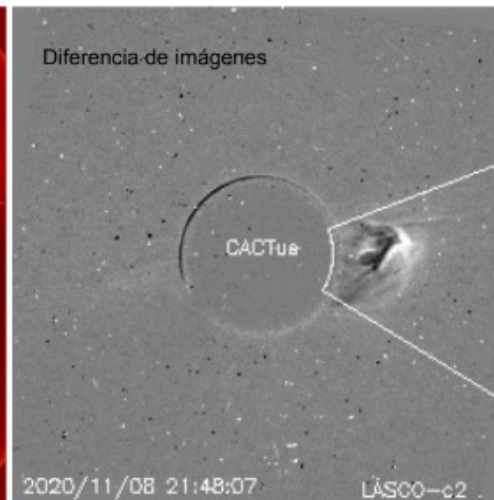
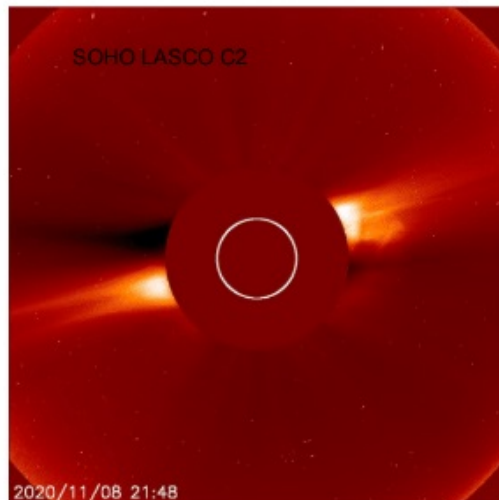
>> **Noviembre 11, 19:36 h⁺**

- Eyecciones lentas observadas por SOHO/LASCO C2 y C3.
- No se desplazan en la dirección Sol-Tierra.
- No se esperan consecuencias severas en el entorno geomagnético.

	26/10	28/10
Velocidad* (km/s)	226	380
Posición angular*	265°	110°
Ancho angular*	52°	42°

(*)Valores estimados sobre la proyección en el plano del cielo y no en la dirección Sol-Tierra.

(+)Tiempo de inicio de la observación.



Crédito imágenes y valores estimados: ESA-NASA/SOHO, the Solar & Heliospheric Observatory CACTus CME catalog. SIDC at the Royal Observatory of Belgium

Medio interplanetario: Región de interacción de viento solar

CHIMERA Coronal Holes at 2-Nov-2020 20:24:52.840 UT

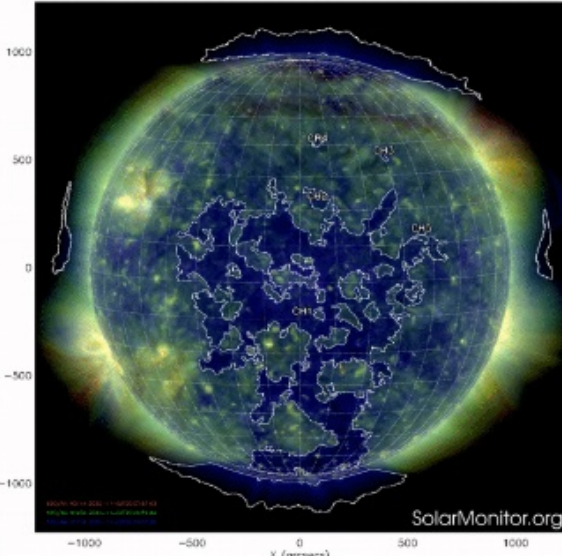


Imagen 1: <https://solarmonitor.org/chimera.php>

Esta semana se registró una región de compresión (área sombreada en imagen 3). El origen del viento solar rápido es un hoyo coronal localizado en latitudes bajas (CH1 en imagen 1). En la imagen 2 (área sombreada en amarillo) vemos la descendencia de la hoja de corriente bajo el plano de la eclíptica.

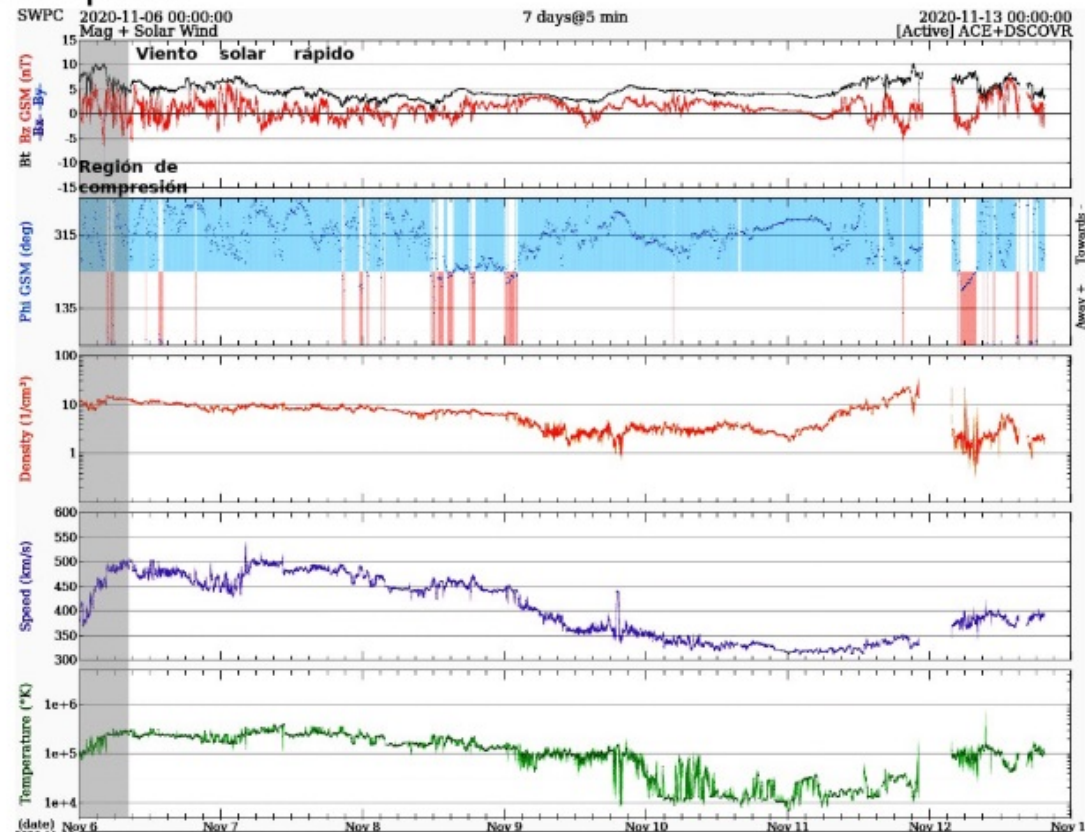


Imagen 3: <http://www.swpc.noaa.gov/products/real-time-solar-wind>

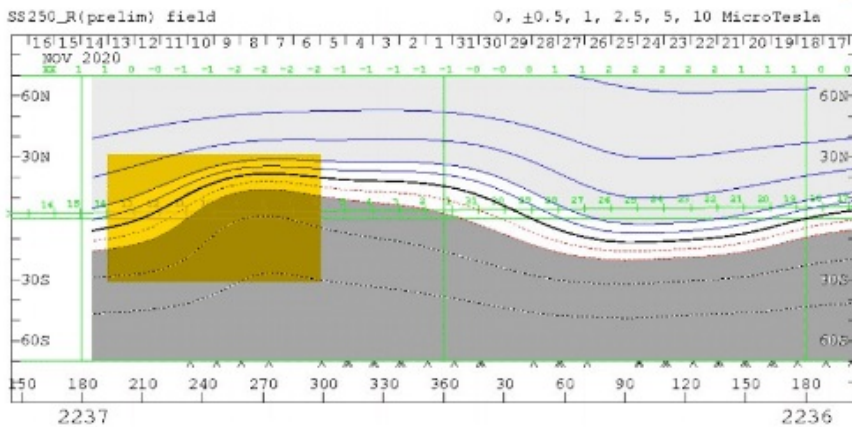


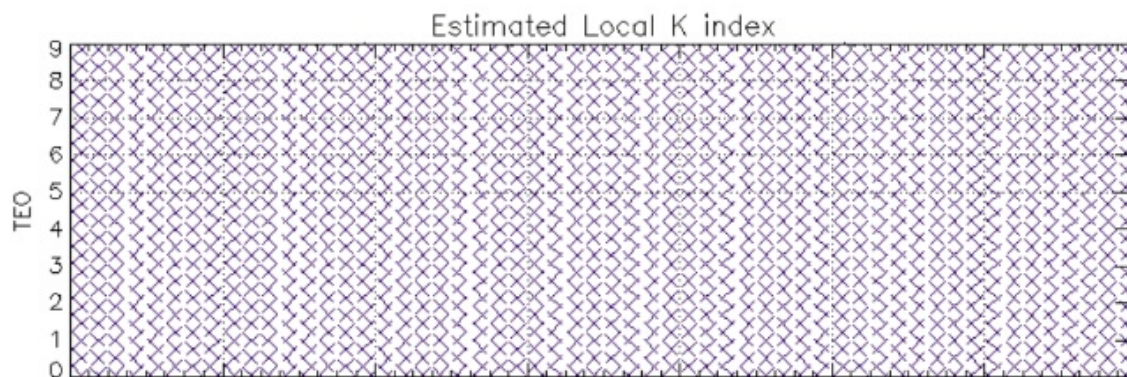
Imagen 2: <http://wso.stanford.edu/SYNOP/>

Perturbaciones geomagnéticas: Índices geomagnéticos Kp y Kmex

Imagen: <http://services.swpc.noaa.gov/images/planetary-k-index.gif>

Se registró actividad geomagnética menor en el índice Kp durante la semana.

NOTA: Debido a actividades de mantenimiento, no se cuenta con datos del Observatorio de Teoloyucan. Esta condición impide el cálculo del índice Kmex.

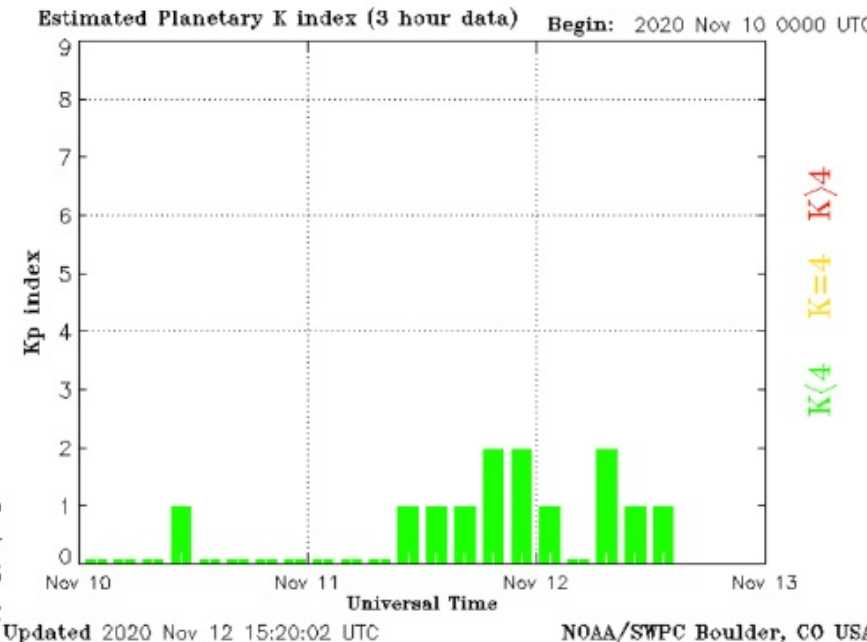


Color Code: ■ quiet, ■ disturbed, ■ storm, XXXX data not available.

TEO: Teoloyucan Geomagnetic Observatory (LAT 19.746, LON -99.193)

LANC/SCIESMEX - Morelia, Mich., MX

Updated:



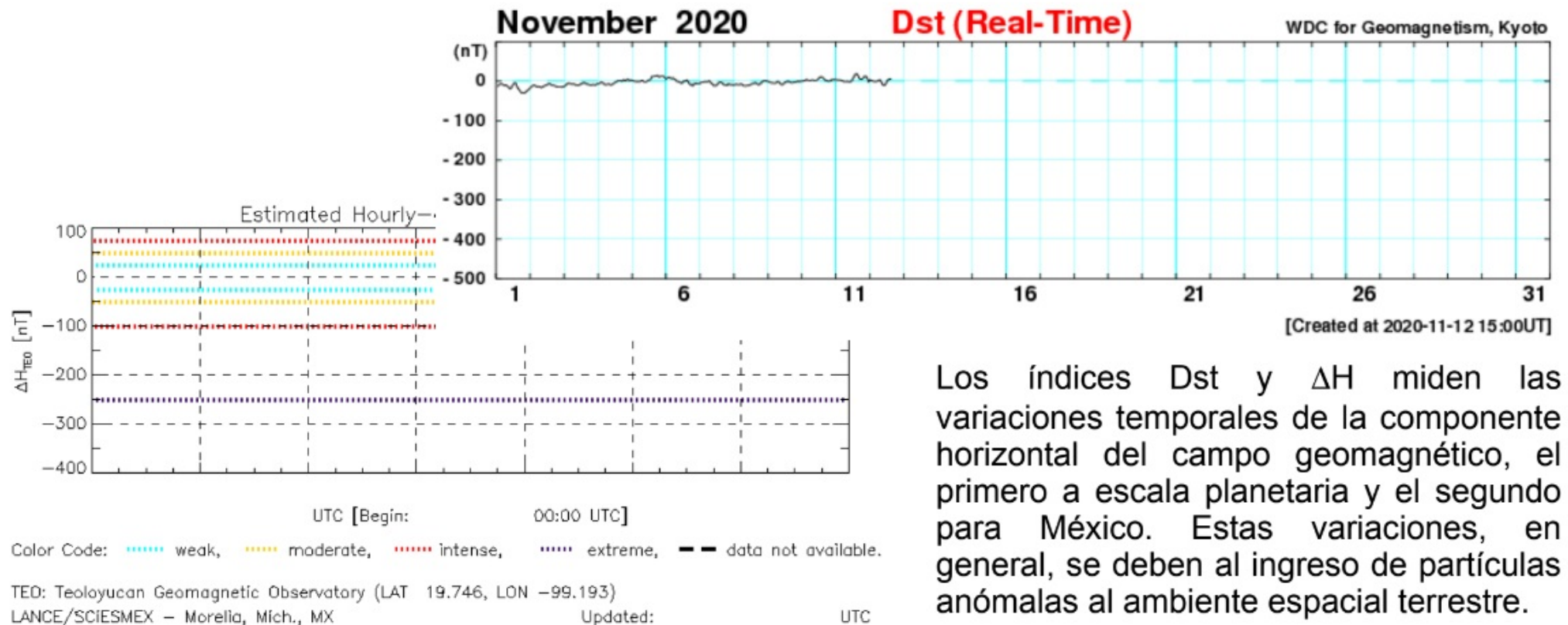
El índice K indica la intensidad de las variaciones del campo magnético terrestre en intervalos de 3 horas. El índice Kp lo expresa a escala planetaria, mientras que el Kmex lo hace para el territorio mexicano.

Perturbaciones geomagnéticas: Índice Dst y ΔH

No se registró actividad geomagnética significativa en el índice Dst durante la semana.

NOTA: Debido a actividades de mantenimiento, no se cuenta con datos del Observatorio de Teoloyucan. Esta condición impide el cálculo del índice ΔH .

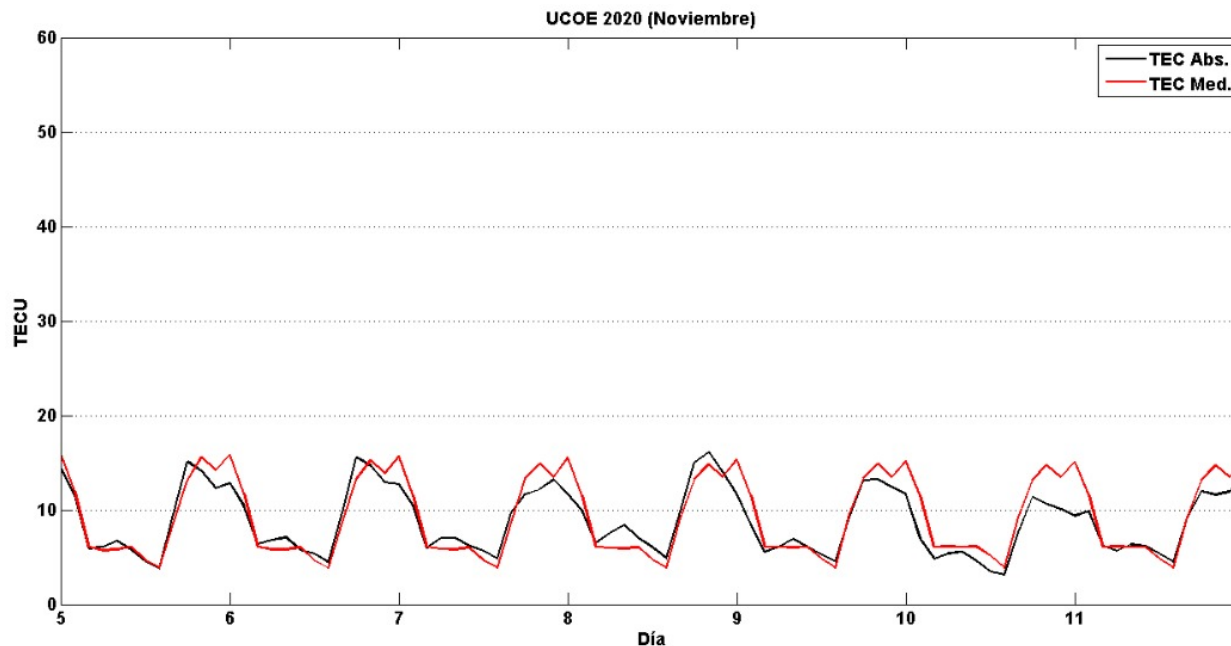
Imagen: http://wdc.kuoi.kyoto-u.ac.jp/dst_realtime/presentmonth/index.html



Los índices Dst y ΔH miden las variaciones temporales de la componente horizontal del campo geomagnético, el primero a escala planetaria y el segundo para México. Estas variaciones, en general, se deben al ingreso de partículas anómalas al ambiente espacial terrestre.

• Ionósfera sobre México: TEC en el centro del país (datos locales)

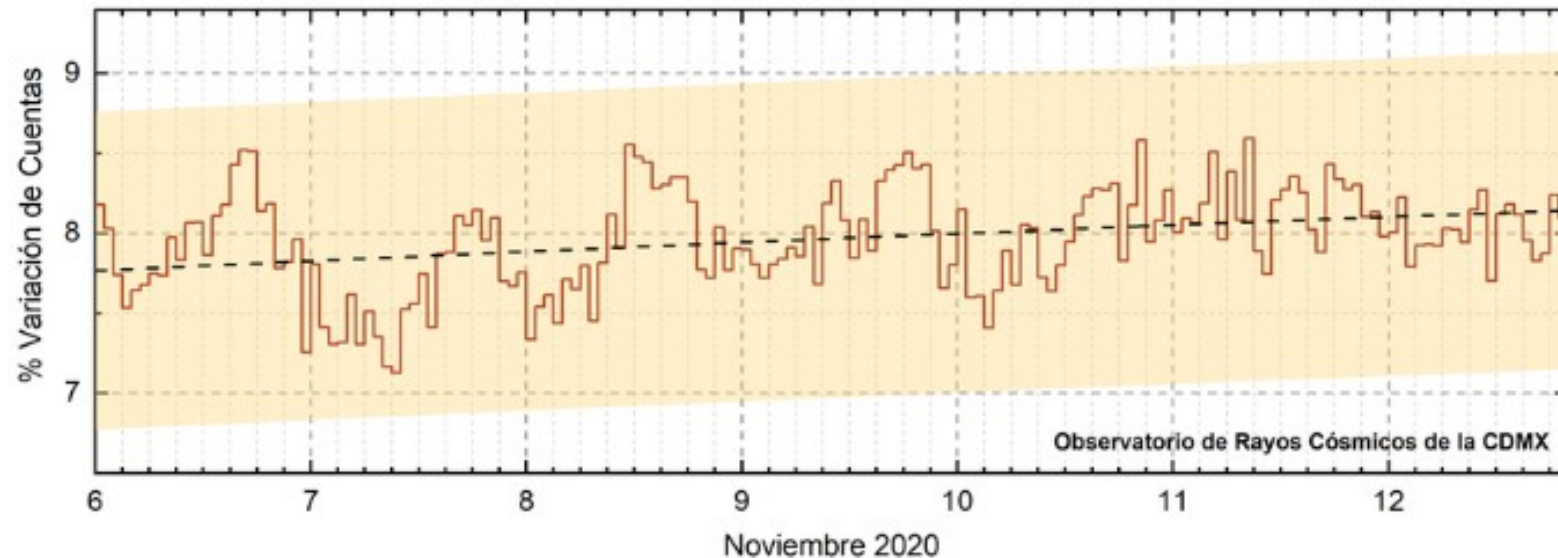
El contenido total de electrones (TEC) es un parámetro que sirve para caracterizar el estado de la ionosfera de la Tierra.



Serie temporal de los valores de TEC (negro) con referencia a su valor mediano (rojo) durante 05.11-11.08.2020 con base en los datos de la estación local UCOE (TLALOCNet, UNAVCO) en las instalaciones del MEXART.

Según los datos locales, se observaron los valores bajos de TEC el 10 de noviembre. Estas variaciones no son significativas.

El cálculo se realiza en base de TayAbsTEC software del Instituto de Física Solar-Terrestre, Sección Siberiana de la Academia de Ciencias de Rusia. Referencia: Yasyukevich et al., Influence of GPS/GLONASS Differential Code Biases on the Determination Accuracy of the Absolute Total Electron Content in the Ionosphere, Geomagn. and Aeron., ISSN 0016_7932, 2015.



Datos registrados por el Observatorio de Rayos C3smicos de la Ciudad de M3xico. La curva discontinua negra representa el promedio de los datos registrados, el 3rea coloreada en amarillo representa la significaci3n de los datos ($\pm 3\sigma$). Cuando se registran variaciones que salen del 3rea, es probable que 3stas sean atribuidas a efectos de emisiones solares en el flujo de rayos c3smicos.

Del 06 al 12 de noviembre de 2020, no se detectaron incrementos significativos ($>3\sigma$) en las cuentas de rayos c3smicos.

UNAM/LANCE/SCiESMEX

Dr. J. Américo González Esparza
Dr. Pedro Corona Romero
Dra. Maria Sergeeva
Dr. Julio C. Mejía Ambriz
Dr. Luis Xavier González Méndez
Dr. José Juan González Avilés
Ing. Ernesto Andrade Mascote
M.C. Pablo Villanueva Hernández
Ing. Adan Espinosa Jiménez
Ing. Juan Luis Godoy Hernández
Dr. Ernesto Aguilar-Rodríguez
Dra. Verónica Ontiveros
Dra. Tania Oyuki Chang Martínez
Ing. Juan José D'Aquino
M.C. Víctor José Gatica Acevedo

UNAM ENES-Morelia

Dr. Mario Rodríguez Martínez
Dr. Víctor De la Luz Rodríguez
Lic. Shaden Saray Hernández Anaya
M.C. Raúl Gutiérrez Zalapa
Rafael Zavala Molina
Vanessa Arriaga Contreras

UNAM/PCT

Lic. Elizandro Huipe Domratheva
M.C. Víctor Hugo Méndez Bedolla
M.C. Elsa Sánchez García

UANL/LANCE

Dr. Eduardo Pérez Tijerina
Dr. Enrique Pérez León
Dr. Carlos de Meneses Junior
Dra. Esmeralda Romero Hernández

UNAM/IGF/RAYOS CÓSMICOS

Dr. José Francisco Valdés Galicia
Fis. Alejandro Hurtado Pizano
Ing. Octavio Musalem Clemente

SERVICIO MAGNÉTICO

M.C. Esteban Hernández
Quintero
M.C. Gerardo Cifuentes Nava
Dra. Ana Caccavari Garza

Elaboración: Equipo SCiESMEX

Revisión: Ernesto Aguilar Rodríguez

CREDITOS SAET/CP CET-IPN

1. Ing. Julio Cesar Villagran Orihuela
2. Ing. Reynaldo Vite Sanchez
3. Miguel Daniel Gonzalez Arias
4. Carlos Escamilla Leon
5. Jessica Juarez Velarde
6. Pablo Romero Minchaca
7. Eric Bañuelos Gordillo
8. Alfonso Ivan Verduzco Torres
9. Katia Lisset Ibarra Sanchez
10. Angel Alfonso Valdovinos Córdoba

Agradecimientos

El Laboratorio Nacional de Clima Espacial (LANCE) es parcialmente financiado por: el programa Cátedras CONACYT Proyecto 1045 y el Fondo Sectorial AEM-CONACYT proyecto 2014-01-247722. Agradecemos al proyecto Conacyt – Repositorio Institucional de Clima Espacial 268273. Agradecemos al proyecto AEM-2018-01-A3-S-63804 del Fondo Sectorial CONACYT-AEM. Agradecemos a todos los responsables y colaboradores de instrumentos del LANCE y a las redes de estaciones GPS del Servicio Sismológico Nacional y TlalocNET por facilitar sus datos. Agradecemos a Gerardo Cifuentes, Esteban Hernández y Ana Caccavari por los datos del Observatorio Magnético de Teoloyucan. De igual forma, agradecemos los servicios de IGS (International GNSS Service) por permitirnos usar los datos IONEX disponibles en: <ftp://cddis.gsfc.nasa.gov/pub/gps/products/ionex>. Los valores de TEC fueron obtenidos a partir de observaciones de las redes GPS del Servicio Sismológico Nacional (SSN), SSN-TLALOCNet y TLALOCNet del Servicio de Geodesia Satelital (SGS). Agradecemos al personal del SSN y del SGS por el mantenimiento de estaciones, la adquisición de datos y el soporte de IT de estas redes. Las operaciones de la red TLALOCNet y SSN-TLALOCNet GPS han sido apoyadas por The National Science Foundation bajo el proyecto EAR-1338091 a UNAVCO Inc., los proyectos CONACyT 253760 y 256012 y los proyectos UNAM-PAPIIT IN109315-3 y IN104818-3 de E. Cabral-Cano y el proyecto UNAM-PAPIIT IN111509 de R. Pérez. De igual forma, agradecemos a los proyectos de infraestructura del CONACyT: 253691 y del PAPIIT-DGAPA: IA107116 para el fortalecimiento de equipos como la estación fija de GPS, que forman parte del LACIGE-UNAM, de la ENES unidad Morelia a cargo de M. Rodríguez-Martínez, El cálculo de TEC se realiza: 1) utilizando el software US-TEC que es un producto de operación del Space Weather Prediction Center (SWPC), desarrollado a través de una colaboración entre National Geodetic Survey, National Oceanic and Atmospheric Administration (NOAA) y el Cooperative Institute for Research in Environmental Sciences of the University of Boulder, Colorado, 2) con base en el software TayAbsTEC del Instituto de Física Solar-Terrestre, sección Siberiana de la Academia de Ciencias Rusa. Parte del procesamiento de datos se lleva a cabo dentro del centro de Supercómputo de Clima Espacial (CESCOM) del LANCE. Así mismo agradecemos al Space Weather Forecasting Center for Astrophysics & Space Research de la University of California in San Diego y al Korean Space Weather Center por los datos de pronóstico para los modelos WSA-ENLIL y los mapas tomográficos por IPS. Agradecemos a la red e-callisto por los datos proporcionados de espectros electromagnéticos dinámicos de la red internacional de registro de eventos de radio solares.

Datos

Imágenes de coronógrafo, flujo de rayos X y modelo WSA-ENLIL:

<http://www.swpc.noaa.gov/products>

<http://iswa.ccmc.gsfc.nasa.gov/IswaSystemWebApp/>

Imágenes de coronógrafo:

<http://sohowww.nascom.nasa.gov/data/>

Imágenes del disco solar y de la fulguración:

<http://www.solarmonitor.org/>

Detección y caracterización de EMCs:

<http://www.sidc.oma.be/cactus/out/latestCMEs.html>

<http://spaceweather.gmu.edu/seeds/>

ISES:

<http://www.spaceweather.org/>

International Network of Solar Radio Spectrometers (e-callisto):

<http://www.e-callisto.org/>

German Research Center For Geociencias Postdam:

<http://www.gfz-potsdam.de/en/sektion/erdmagnetfeld/daten-dienste/kp-index/>

Data Analysis Center for Geomagnetism and Space Magnetism, Kyoto University:

<http://wdc.kugi.kyoto-u.ac.jp/index.html>

UNAVCO:

<http://www.unavco.org>

SSN:

<http://www.sismologico.unam.mx/>

SOHO Spacecraft NASA:

<http://sohowww.nascom.nasa.gov/>

SDO Spacecraft NASA:

<http://sdo.gsfc.nasa.gov/>

Space Weather Prediction Center NOAA:

<http://www.swpc.noaa.gov>

GOES Spacecraft NOAA:

<http://www.ngdc.noaa.gov/stp/satellite/goes/index.html>

ACE Spacecraft NOAA

<http://www.srl.caltech.edu/ACE/ASC/index.html>